

等离子体直读光谱法同时测定岩石 中15个痕量稀土元素

中国地质科学院岩矿测试技术研究所

袁玄晖 阎松桥 伍新宇 股宁万

近年来，着地质学科的研究需要，稀土元素的分析手段不断向深度发展。为了制作稀土球粒陨石标准化分布型式图，要求准确测定痕量稀土元素，同时还由于各种岩石的基体变化不一，造岩元素所产生的谱线干扰以及可变的背景干扰都给痕量稀土元素的测定带来困难，所以，一般都需要进行预处理，将岩石的主元素分离，并使稀土元素相对浓缩^[1,2,3,4]。

本文介绍的方法是在原来的熔样和阳离子交换树脂分离的基础上，利用 Jarrell—Ash 1160 等离子体多道直读分光计对15个稀土元素进行同时测定。

试验部份

1. 熔样与离子交换分离：为了使某些含稀土元素的矿物（特别是锆石）溶解完全，选择了过氧化钠熔融法。碱性滤液酸化后经强酸一号阳离子树脂交换。用2N HNO₃淋洗杂质元素；用4N HCl淋洗稀土元素。淋洗液经蒸发浓缩至小体积后直接喷入等离子体。有关离子交换过程的试验请参看报告①

2. 标准溶液：单个的稀土元素标准贮备液用 Johnson Matthey 光谱纯试剂配制^[5]，然后将其稀释，组合为 7 个标准溶液：标准 RES₁ 为 10% HCl；标准 RES₂ 含 5ppm 的 Ce、Gd、La、Lu、Y、Er；标准 RES₃ 含有 5ppm 的 Nd、Tb、Eu、Yb、Sm；标准 RES₄ 含 5ppm 的 Dy、Tm、Pr、Sc、Ho；标准 RES₅ 含 100ppm 的 Fe、Al、Ce、Mg、Ti、Cr；标准 RES₆ 含 10ppm 的 Zr、Ta、Pt、Th；RES₇ 含 10ppm 的 Be、Nb、Sr、Ba。标准液的酸度均为 10% 盐酸溶液。

在组合标准时，为避免谱线相互干扰，某些元素不能放在同一标准液里。例如，浓度较大的造岩元素单独为一组；Pr 与 Gd、Ce、Sm，Ho 与 Y、Tb，Dy 与 Ce 分别配制在不同的标准液中。此外，还配有一个监控溶液 Cs，它含有适量的 15 个稀土元素。该溶液每隔 10 个样品分析一次，作为质量监控之用。

3. 仪器：Jarrell-Ash 1160 型等离子体 AtomComp 直读分光计系统。

(1) ICAP 激发源及雾化装置：Jarrell-Ash 2500RF发生器，2.5KW, 27.1MHz，功率自动控制在 1kw（反射功率控制在 5w 左右）。样品的气溶胶由高盐雾化器^[6]在 Rainin Rabbit 蠕动泵和 0.4 升/分的载气下产生。提升率为 3 毫升/分。气溶胶经由一个带挡板的雾化室进入炬管。等离子体由流量为 17 升/分的冷却气支撑着。

(2) 分光计：0.75 米分光计。25 微米的人射狭缝为工作线圈上方 17mm 处的等离子体通道所照明。附有 Mark V 0.5 Ebert 扫描分光计及多点光谱移位系统。分析通道共 60 个。在稀土元素分析中，除启用 15 个稀土元素通道外，尚启用常见伴生元素 Ca、Mg、Al、Fe、Cr、Th、Zr、Ti、Sc 等通道。

(3) 计算机：分光计系统的操作以及数据的处理均由一内存为 64k 的 PDP^{11/23} 计算机来控制。专用软件是以 DEC 公司的 RSX-11M 操作系统为基础的 Jarrell-Ash SAIL-3 软件。外存储为 5 兆字的 RLDI 硬磁盘。输入输出设备为 LA-120 行式打印机和 VT-100 显示器。计算机帮助执行仪器的控制、曲线拟合、打印格式、数据收集、干扰校正、分析结果的平均与数据打印等功能。

4. 分析通道及检出限：仪器的各个稀土元素的通道是固定的，其波长及检出限列于表 1。

5. 分析前的准备工作：仪器的最佳工作条件用 1ppm 的 Mo 溶液进行选定。最佳条件为：功率—1kw；观察高度—17mm；雾化器压力——2 公斤/厘米²。事先，根据具体的分析要求，编好控制表编辑程序 (CTE) 的分析控制表 (ACT)。它包括特定样品工作条件并将原始数据处理成有用数据。ACT 共分 15 组（第 5、6 组暂未用），第一组包括 ACT 名称、LCN 总数、曝光时间、打印格式、三点光谱移位器校正程序的设定值。第二组列出元素名、波

① 股宁万等利用 ICP 光谱法测定岩石 中痕量稀土元素和统一地质部测试所

稀土元素的谱线波长及检出限 表 1

通道 (Å)	检出限 (ppm)	通道 (Å)	检出限 (ppm)
Ce 4186.59	0.027	Pr 4100.75	0.014
Dy 3531.71	0.0013	Sm 4424.34	0.01
Eu 3907.11	0.0017	Tb 3509.17	0.003
Gd 3646.19	0.007	Tm 3131.26	0.0019
Ho 3456.00	0.0012	Y 3710.30	0.0006
La 3794.77	0.002	Yb 3289.37	0.0004
Lu*2195.54	0.024	Er 3906.31*	0.009
Nd 3863.41	0.01		

* 出厂时 Er3672.30 Å 选线不当，现用 $n+1$ 的 Er3906 Å 作分析。Lu 通道待调整

长、谱线左右位移背景常数。第三组包括标准曲线的数据 (A_0, A_1)、打印优先权、有效数字位及高低浓度检出限。第四组列有元素干扰校正数据。第七组为标准化的标准名称。第八组为 ACT 中每个元素的高低浓度的标准。第九组列出第一个标准的浓度，第十至十五组列出第 2—7 个标准的浓度。

6. 干扰研究：岩石经碱熔、加三乙醇胺掩蔽铁、铝，过滤及离子交换树脂分离之后，大部份干扰元素已分离。然而，由于各种类型的岩石成份变化较大，高铝坩埚熔下来的铝量不易控制，且尚有一些残留元素与稀土元素在一起，所以，还必须对谱线重叠和背景变动所引起的可能干扰进行观察。利用仪器的光谱移位器对每个稀土元素的通道都作了 3 \AA 波长范围内的 63 点扫描。要描述的溶液有：样品溶液 RESPS₁、10% HCl 空白溶液 REBKS₁，以及分析元素的标准溶液 RESTS₁。从这三种溶液的描述图上可以判断出是否要用背景校正。从图 1 可以看出，样品溶液与标准溶液之间的背景变化并不显著，故而可以省略背景校正。必要时，可参考标样中测定低含量元素的干扰情况来确定扣除背景事宜。关于谱线干扰的情况，可以根据有关资料^[7, 8, 9]查出各条稀土元素谱线的 $\pm 0.6\text{ \AA}$ 范围内可能有的干扰线并根据样品溶液经处理后可能有少量的 Ca、Mg、Al、Fe、Ti，及 Th、Cr、Ba、Zr 等元素存在的情况，把可疑的干扰元素与分析元素描述在同一张图上，以确认所有的干扰谱线。如干扰线部分地与分析线重叠，则用实验方法求得校正因数^[10]。然后，将这些校正因数以合理的顺序编入程序第四组，通过计算机在分析过程中进行校正。图 2 是 Sm 受干扰的描述图。

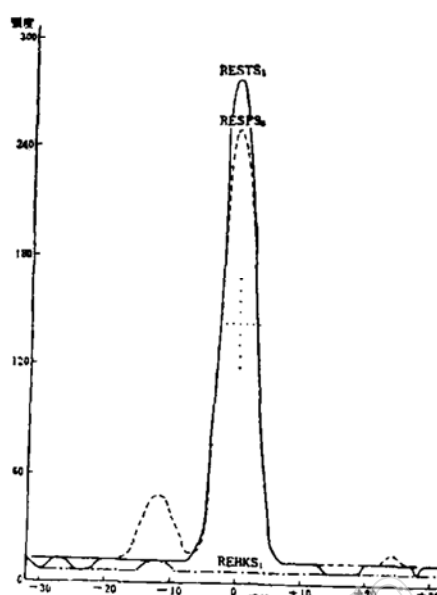


图 1 Yb 3289 Å 附近的样品溶液、标准溶液和空白溶液的波长描述

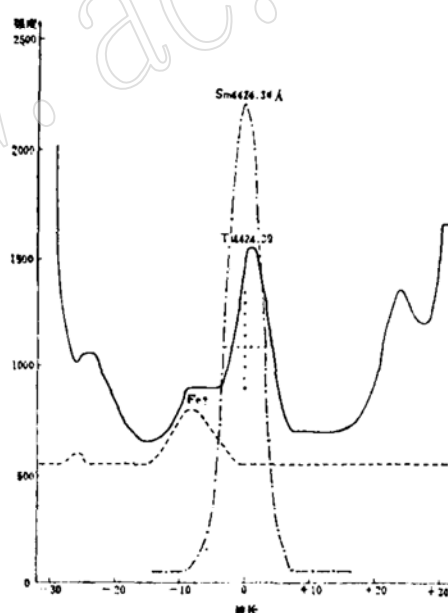


图 2 Sm 4424 Å 受 Ti 4424 Å 和 Fe 3672 Å 干扰的情况

二、样品分析

取岩石样 1 克置高铝坩埚中，加过氧化钠 6 克，在 650℃ 马弗炉中熔融。冷后，将坩埚置 250 毫升烧杯中，加 10% 三乙醇胺 10 毫升，温水提取，洗出坩埚，用水稀释至约 100 毫升，加热煮沸。冷后，用慢速滤纸过滤，以 1% NaOH 溶液洗涤沉淀。用热 HCl(1:1) 8 毫升溶解沉淀于原烧杯中，再用 10% HCl 洗至 100 毫升，加水至 200 毫升（溶液酸度约 0.8N）。将全部溶液以 0.5 毫升/分流速通过 $\phi 15 \times 100$ 毫米

交换柱(内装强酸1号树脂,粒度60—100目)。待溶液流完后,先用1.75N HCl 75毫升淋洗,继之用2NHNO₃ 150毫升淋洗液洗脱Ca、Mg、Al、Fe、Ti、Mn。用4N HCl 200毫升洗脱稀土元素,收集于烧杯中并蒸发到1—2毫升后移入5或10毫升比色管中,用水稀释到刻度后备用。先点燃等离子体,吸喷去离子水约半小时使仪器趋于稳定。此时,输入样品分析操作程序(SAT)进行汞描述(待测微计读数达稳定读数即可工作)并吸喷Er溶液以检查n+1通道的光电响应是否达到最大。然后,用7个标准溶液进行仪器的标准化。最后,用Cs监控溶液检查仪器的标准化过程是否正确。以下即可进行样品分析。每个样品测定三次,每次曝光10秒,水洗60秒,样液洗30秒。2分20秒后,在行式打印机上打印出平均结果,如在程序中使用了稀释因数和单位换算因数,则可打印出原样中的稀土含量。

三、分析结果及对比:

使用本方法曾分析过上千个岩石中的痕量稀土元素供岩石成因研究之用。表2是地质矿产部地球化学水系沉积物标准参考样GSD-4以及国际标样MRG-1和BR的稀土元素结果及对比情况。本方法

的精度(RSD)如表3所示,样品为湖北闪长岩,测定10次。图3是根据几个典型花岗岩的稀土元素分

稀土元素的分析结果(ug/g)及对比 表2

元素	地质矿产部标样 GSD-4		国际标样 MRG-1		国际标样 BR	
	中子活化 法	本法	推荐值	本法	推荐值	本法
La	37.2	36.3	10	9.4	80	66
Ce	79.1	76.1	25	26.9	140	136
Pr	—	8.2	(3.6—9)	4	—	18
Nd	37.7	31.5	19	19	60	67.6
Sm	6	5.9	5	4.9	12	14
Eu	1.3	1.2	1.4	1.5	3.7	5.5
Gd	7.8	5.3	3.2—5	5	(7.3—13)	10.4
Tb	0.82	0.84	(0.46— 0.53)	0.54	(1.1)	0.18
Dy	4.8	5	3	3.2	(6.1—9)	6.7
Ho	—	1.3	0.5	0.74	—	1.6
Er	—	3.2	0.95— 1.1	1.4	—	2.2
Tm	0.5	0.41	0.1	0.16	—	0.42
Yb	2.8	2.7	1	0.89	2	1.85
Lu	0.39	0.58	0.2	0.4	0.13—0.27	0.28
Y	26.5	26.2	16	13.9	30	27

分析结果的精度

表3

元素	La	Ce	Pr	Nd	Sm	Eu	Gd	Tb	Dy	H	Er	Tm	Yb	Lu	Y
含 量	63.7	120.4	12.7	43.9	8.12	1.82	5.29	0.55	3.58	0.95	2.22	0.33	1.64	(0.04)	17
RSD	4.9	1.5	2.17	1.04	1.38	1.38	1.3	5.5	1.2	1.56	2.9	5.3	1.5	—	1.4

析结果与球粒陨石相比较而绘制的稀土球粒陨石标准化分布型式图。由图可见,根据本法的稀土元素分析数据可以绘制出标准化模式曲线。

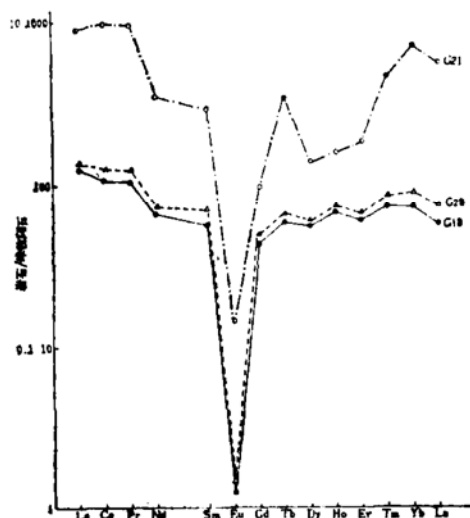


图3 标准化模式曲线

参 考 文 献

- [1] 贾玄晖等PPb级稀土元素等离子光谱测定的研究—见《岩石矿物及测试》1,地质出版社,1983。
- [2] A. E. Watson, T. W. Steele, E. A. Jones and M. Goncalves, Spectrochimica Acta 36, 785 (1981).
- [3] J. N. Walsh, F. Buckley and J. Barker, Chemical Geology 33, 141 (1981).
- [4] J. G. Crock and F. E. Lichte, ICP Information Newsletter 7, 129 (1981).
- [5] A. F. Ward, Jarrell-Ash Plasma Newsletter 1, 14 (1978).
- [6] C. C. Wohlers et. al., ICP Information Newsletter 6, 500 (1981).
- [7] R. K. Winge, V. J. Peterson and V. A. Fassel, Applied Spectroscopy 33, 206 (1979).
- [8] M. D. Parsons, A. Foster, D. Anderson,

"An atlas of spectral interferences in ICP spectroscopy", Plenum Press, 1980.

[9] P.W. J. M. Boumans, "Line coincidence tables for inductively coupled plasma atomic emis-

sion spectrometry", Pergamon Press, 1980.

[10] D. Marciello and A. F. Ward, Jarrell-Ash Plasma Newsletter 1, 12 (1978).

THE SIMULTANEOUS DETERMINATION OF 15 TRACE RARE EARTH ELEMENTS IN ROCKS BY PLASMA ATOMCOMP DIRECT READING SPECTROMETER SYSTEM

Yuan Xuan-hui

A method for the determination of rare earth elements at chondritic abundance levels is described. Dissolution of rock samples is accomplished by sodium peroxide fusion. Rare earth elements are separated from matrix concomitants and preconcentrated by cation exchange employing No. 1 resin. The analysis of the samples is performed on a Jarrell-Ash model 1160 Atom-Comp spectrometer with 60 channels. A DEC PDP 11/23 minicomputer controls the ICAP spectrometer and is interfaced to a LA-120 DECwriter for data reporting. A precision of 1-5.5% (RSD) was attained. Analyses of several hundreds of rock samples showed that the method is well suited to the routine simultaneous determination of 15 rare earth elements.